

一株海洋解淀粉芽孢杆菌(*Bacillus amyloliquefaciens*)生产 Macrolactin B 的发酵条件优化*

王洪强 何 山 杨 锐 朱 鹏 严小军

(宁波大学 应用海洋生物技术教育部重点实验室 宁波 315211)

摘要 从浙江台州近海上层海水中分离到一株可产 Macrolactin 类大环内酯抗生素的海洋细菌, 经形态特征分析及 16S rRNA 测序比对, 鉴定并将其命名为解淀粉芽孢杆菌(*Bacillus amyloliquefaciens*)ESB-2。运用 Minitab 软件, 通过 Plackett-Burman 和 Box-Behnken 实验及响应面分析对该菌生产 Macrolactin B 的发酵条件进行优化, 得到该菌生产 Macrolactin B 的最佳发酵条件为: 葡萄糖 17.0mg/L, 蛋白胨 5mg/L, 酵母粉 1mg/L, FePO₄ 0.01mg/L, 初始 pH 6.0, 培养温度 27.2°C, 接种量 5%, 装液量 57.6%, 培养时间 4d, 在优化发酵条件下, Macrolactin B 的最高产量达到 13.6μg/mL, 为目前已报道的最高产量, 为该活性物质药源问题的解决打下了良好基础。

关键词 海洋解淀粉芽孢杆菌; Macrolactin B; 发酵优化; 响应面法

中图分类号 Q936

先导化合物的寻找和发现是构建全新药物分子结构的前提, 是研制新药的关键第一步。结构新颖、作用独特的天然产物一直是新药及新药先导化合物的重要来源(Tulp *et al*, 2004; Newman *et al*, 2003)。由于对陆生生物资源的长期研究开发, 从中发现结构新颖、功能独特的活性代谢产物的几率越来越低。因此, 从 20 世纪 60 年代初, 人们开始从海洋生物中寻找新的活性代谢产物(王长云等, 2005; 杨雨等, 2005)。

Macrolactin 是一类 24 元环大环内酯类化合物, 最早由 Gustafson 等(1989)从北太平洋 980m 深海洋分离到的一株海洋细菌中发现, Macrolactin 家族成员普遍具有抑菌、抗病毒、抗肿瘤等多种生物活性(Kim *et al*, 1997)。目前该家族共有 19 个成员(Jaruchokta-weechai *et al*, 2000; Nagao *et al*, 2001; Romero *et al*, 2006; Sohn *et al*, 2008; Mondol *et al*, 2011), 其中

Macrolactin B 是较早被发现的一员, 但现有菌株发酵生产 Macrolactin B 的产量都很低(Shan He *et al*, 2012), 使其没能得到进一步研究, 也为其进行药物开发形成阻碍。

本研究从浙江台州海水中筛选到一株可稳定产 Macrolactin 类化合物的海洋细菌, 经鉴定为海洋解淀粉芽孢杆菌(*Bacillus amyloliquefaciens*), 为了提高该菌生产 Macrolactin B 的产量, 本文尝试使用 Minitab 软件对其发酵条件进行优化。Minitab 作为一种数据分析软件, 具有强大的实验设计和统计分析等功能(Basem, 2002), 已被广泛应用于微生物发酵条件的优化。本文进行了 Plackett-Burman 实验和 Box-Behnken 实验及响应面分析(Montgomery, 2000; Ferreira *et al*, 2007), 首次对生产 Macrolactin B 的发酵条件进行了优化, 使 Macrolactin B 的产量提高了 8 倍, 达到 13.6μg/mL, 为目前已报道的最高产量。

* 浙江省海洋生物技术产业科技创新团队资助项目, 2012R10029-2 号。王洪强, 硕士研究生, E-mail: whq.8685136@163.com
通讯作者: 何山, 博士, 讲师, E-mail: heshan@nbu.edu.cn

收稿日期: 2012-09-14, 收修改稿日期: 2013-01-26

1 材料与方法

1.1 菌种及其鉴定

菌种由本实验室于浙江台州海水中分离得到, 经形态特征分析(布坎南等, 1984)及 16S rRNA 测序比对(Zhou *et al.*, 2008), 鉴定并将其命名为海洋解淀粉芽孢杆菌(*Bacillus amyloliquefaciens*)ESB-2。

1.2 培养基

平板培养基: 海水 1L、蛋白胨 5g、酵母粉 1g, FePO₄ 0.01g、琼脂 15g;

种子培养基: 海水 1L、蛋白胨 5g、酵母粉 1g, FePO₄ 0.01g。

1.3 培养方法

1.3.1 菌种活化和种子培养 将 4℃ 保藏的菌种转接到新鲜的平板培养基上, 30℃ 生化培养箱中培养 24h; 取一环平板活化菌种接入 100mL 种子培养基, 在 30℃ 温度下 150r/min 摆床中振荡培养 48h。

1.3.2 发酵培养 取种子培养液以 5% 的接种量接入发酵培养基, 150r/min 摆床中振荡培养 4d, 具体发酵条件按实验设计进行。

1.4 产物检测方法

取出发酵液, 加入等体积的乙酸乙酯充分萃取两次, 合并提取液, 旋转蒸发至干, 溶于 1mL 甲醇, 12000r/min 离心 15min, 取上清。进行高效液相色谱分析(HPLC)。色谱柱为 waters C18 反相柱(18.4μm, 4.6 × 150mm), 检测波长为 265nm, 流动相为甲醇水, 梯度洗脱, 60min 内, 甲醇由 10% 升至 90%, 流速 0.8mL/min, 进样量 10μL。

1.5 实验设计

运用 Minitab 软件设计实验和对实验结果进行分析。设计 Plackett-Burman (PB) 实验, 从发酵培养基和工艺条件的一些因素中筛选出对 Macrolactin B 产量有重要影响的因素; 通过 Box-Behnken 实验及响应面分析, 对 PB 筛选实验中确定的显著性影响因素做进一步的优化, 得到 Macrolactin B 产量达到最大时的发酵条件。

1.5.1 Plackett-Burman 实验设计 根据单因素的实验结果和文献报道, 选取发酵培养基组分和工艺条件中的 8 个因素作为考察对象。每个变量均设定一高(+1)一低(-1)两个水平。用 Minitab 生成 8 因素 12 次的 Plackett-Burman 实验(Plackett *et al.*, 1946; Kali *et al.*, 2000), 以 Macrolactin B 在 265nm 下的色谱峰面积作为响应值(Y), 通过 Minitab 软件分析各因素的效应值, 选择影响效应比较高的因素作进一步考察。

1.5.2 Box-Behnken 中心组合实验设计

根据 Box-Behnken 的中心组合设计原理, 对由二水平设计的实验结果所确定的 3 因子各取 3 个水平, 进行了 15 个实验点的响应面分析, 对显著影响因素进行进一步的优化, 对于其它非主要因素, 均取低水平值(Box *et al.*, 1960; Bingham, 2001; Gilmour, 2006)。以 Macrolactin B 在 265nm 下的色谱峰面积作为响应值(Y), 采用软件 Minitab 对实验数据进行分析。

2 结果与讨论

2.1 Plackett-Burman 筛选实验

按照 1.5.1 的实验方法考察蛋白胨(X_1)、酵母粉(X_2)、牛肉膏(X_3)、葡萄糖(X_4)、磷酸亚铁(X_5)、装液量(X_6)、温度(X_7)、初始 pH(X_8) 8 个因素对响应值 Y(即 Macrolactin B 产量)的影响, 各因素的水平见表 1, 实验设计和结果见表 2, 对实验数据进行分析, 得到各

表 1 Plackett-Burman 实验设计中各因素的水平

Tab.1 Levels of the factors chosen for the Plackett-Burman design

因素	Code	低水平(-)	高水平(+)
蛋白胨(g/L)	X_1	5	10
酵母粉(g/L)	X_2	1	2
牛肉膏(g/L)	X_3	0	1
葡萄糖(g/L)	X_4	0	10
FePO ₄ (g/L)	X_5	0.01	0.02
装液量(g/L)	X_6	40%	60%
温度(℃)	X_7	30	35
初始 pH 值	X_8	6	7

表 2 Plackett-Burman 实验设计及结果

Tab.2 The Plackett-Burman design along with macrolatin B production as response

运行序	因素								Macrolactin B 峰面积 (微伏·秒)
	X_1	X_2	X_3	X_4	X_5	X_6	X_7	X_8	
1	-1	-1	-1	1	1	1	-1	1	6145287
2	-1	1	1	1	-1	1	1	-1	7586995
3	1	-1	1	-1	-1	-1	1	1	3554961
4	-1	1	-1	-1	-1	1	1	1	4832314
5	1	-1	1	1	-1	1	-1	-1	5580359
6	-1	1	1	-1	1	-1	-1	-1	1703376
7	1	1	1	-1	1	1	-1	1	3506533
8	1	1	-1	1	-1	-1	-1	1	4268007
9	1	-1	-1	-1	1	1	1	-1	5757530
10	-1	-1	-1	-1	-1	-1	-1	-1	1571196
11	-1	-1	1	1	1	-1	1	1	6602291
12	1	1	-1	1	1	-1	1	-1	6174572

因素对响应值的影响效应如表 3 所示。

由表 3 可知, 对 Macrolactin B 产量影响较大($P < 0.05$)是葡萄糖(X_4)、装液量(X_6)、温度(X_7)。

2.2 Box-Behnken 实验及响应面分析

按照 1.5.2 的实验方法进行实验, 各因素水平见表 4, 实验设计和结果见表 5, 实验结果分析见表 6。

表 3 Plackett-Burman 实验结果分析

Tab.3 Analysis of variance (ANOVA) for the Plackett-Burman design

因素	效应	系数	系统标准误差	T 值	P 值
常量		4773618	72918	65.47	0.000
X_1		66750	33375	0.46	0.678
X_2		-189971	-94986	-1.30	0.284
X_3		-35732	-17866	-0.25	0.822
X_4		2571933	1285967	17.64	0.000
X_5		415960	207980	2.85	0.065
X_6		1589102	794551	10.90	0.002
X_7		1955651	977825	13.41	0.001
X_8		89228	44614	0.61	0.584

表 4 Box-Behnken 设计中各变量的水平

Tab.4 The level of variables for the Box-Behnken design

因素	Code	水平		
		-1	0	1
葡萄糖(g/L)	X_4	0	10	20
装液量(mL)	X_6	40%	60%	80%
温度(℃)	X_7	25	30	35

表 5 Box-Behnken 实验设计及结果

Tab.5 Box-Behnken design along with the macrolatin B Production as response

运行序	因素			Y (Macrolactin B) 峰面积(微伏·秒)
	X_4	X_6	X_7	
1	0	0	0	7533673
2	0	-1	1	1689517
3	0	1	1	1773030
4	-1	1	0	4403484
5	1	0	1	2096647
6	0	-1	-1	5054933
7	1	0	-1	7882513
8	-1	-1	0	2493253
9	1	-1	0	7006878
10	-1	0	1	2211310
11	0	0	0	7549877
12	-1	0	-1	3086016
13	1	1	0	7527950
14	0	0	0	7570214
15	0	1	-1	4516376

表 6 Box-Behnken 实验结果分析

Tab.6 Regression results of the Box-Behnken design

因素	系数	系数标准误差	F 值	Prob > F
常量	7551255	380573	19.842	0.000
X_4	1539991	233053	6.608	0.001
X_6	247032	233053	1.060	0.338
X_7	-1596167	233053	-6.849	0.001
$X_4 \cdot X_4$	-816353	343044	-2.380	0.063
$X_6 \cdot X_6$	-1377010	343044	-4.014	0.010
$X_7 \cdot X_7$	-2915780	343044	-8.500	0.000
$X_4 \cdot X_6$	-347290	329586	-1.054	0.340
$X_4 \cdot X_7$	-1227790	329586	-3.725	0.014
$X_6 \cdot X_7$	155518	329586	0.472	0.657

$R^2 = 97.47\%$, $R^2_{adj} = 92.92\%$

由表 6 可得本次实验的 $R^2 = 0.9747$, 说明本次实验结果中有 97.47% 是可信的, 而当 R^2 大于 0.9 时, 实验模型就被认为是可靠的。因此, 本次实验的 R^2 值说明该实验模型具有较高的可信度。

根据实验分析结果得到的各因素效应系数, 建立 Macrolactin B 的峰面积对三个显著影响因素的多元二次方程, 如下所示:

$$\begin{aligned} Y = & 7551255 + 1539991X_4 + 247032X_6 \\ & - 1596167X_7 - 816353X_4X_4 - 1377010X_6X_6 \\ & - 2915780X_7X_7 - 347290X_4X_6 - 1227790X_4X_7 \\ & + 155518X_6X_7 \end{aligned}$$

式中, Y 为预测响应值, X_4 、 X_6 、 X_7 分别为各变量的编码值。

根据上述回归方程绘出响应面分析图, 以确认葡萄糖(X_4)、装液量(X_6)、温度(X_7)3 个因素对 Macrolatin B 产量的影响, 响应面图和等高见图 1、图 2、图 3。

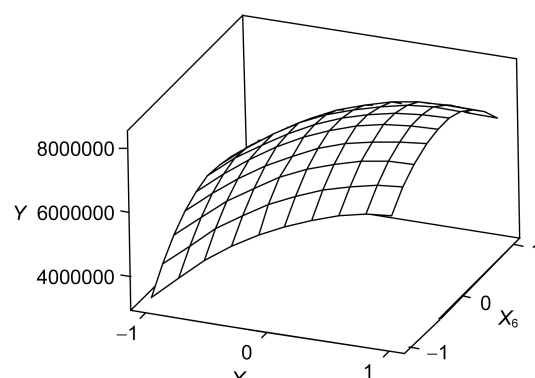


图 1 Y 与 X_4 、 X_6 的曲面图

Fig.1 Response surface showing the effect of X_4 and X_6 concentration

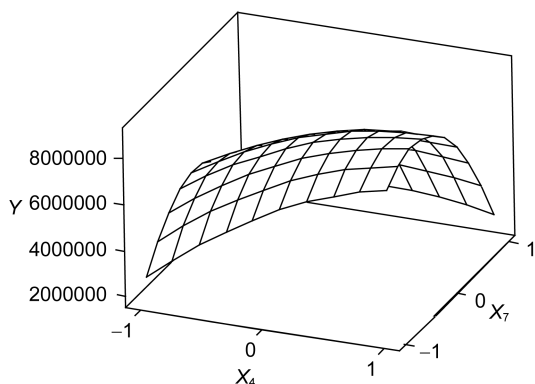
图2 Y 与 X_4 、 X_7 的曲面图

Fig.2 Response surface showing the effect of X_4 and X_7 concentration

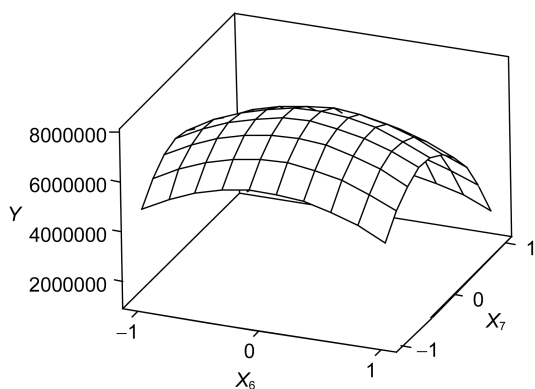
图3 Y 与 X_6 、 X_7 的曲面图

Fig.3 Response surface showing the effect of X_4 and X_7 concentration

从图1、图2、图3中可看出,两两因素间存在比较明显的交互作用,最佳点落在实验考察的区域内。为了更进一步求证最佳点的值,对所得的回归方程分别求三个变量的一阶偏导数,并令其为0,得到三元一次方程组,求解得: $X_4=1.40$, $X_6=-0.12$, $X_7=-0.57$ 。即可得Macrolactin B产量取得最大值时的最佳培养条件:装液量62.3%,蛋白胨15.7mg/L,酵母粉1mg/L,磷酸亚铁0.01mg/L,初始pH 6.0,培养温度28.4°C。此时代谢产物Macrolactin B的峰面积为9068966微伏·秒。根据之前测定的Macrolactin B浓度与色谱峰面积曲线,可求得此时Macrolactin B的产量是13.6μg/mL。为确定所建立的实验模型与实际结果的相符性,在优化的发酵条件下重复实验3次,得到Macrolactin B的平均产量为13.2μg/mL,实验值与理论值相比仅相差2%,说明该模型比较可靠。

3 结论

用Plackett-Burman和Box-Behnken实验及响应

面分析,对海洋解淀粉芽孢杆菌产Macrolactin B的发酵培养基进行优化,确定最佳的发酵条件为:装液量62.3%,蛋白胨15.7mg/L,酵母粉1mg/L,磷酸亚铁0.01mg/L,初始pH 6.0,培养温度28.4°C,在优化发酵培养条件下,产生的Macrolactin B含量达到13.6μg/mL,比优化前提高了近8倍,也是目前报道的最高产量。本次优化大大提高了Macrolactin B的发酵效率,为Macrolactin B的后期产业化开发打下了良好基础。

参 考 文 献

- 王长云,耿美玉,管华诗,2005.海洋药物研究进展与发展趋势.中国新药杂志,4(3):278—282
杨雨,秦松,2005.海洋生物制药现状及展望.中国生物工程杂志,25(4):190—193
布坎南R E,吉本斯N E,1984.伯杰氏细菌鉴定手册(第8版).北京:科学出版社,729
Basem S,2002. Manufacturing and Design for Six Sigma (X-FSS). Michigan: University of Michigan: 15—20
Bingham D,2001. Comment on factor screening and response surface exploration. Stat Sinica, 11: 580—583
Box G, Behnken D, 1960. Some new three level designs for the study of quantitative factors. Technometrics, 2: 455—475
Ferreira S L C, Bruns R E, Ferreira H S et al, 2007. Box-Behnken design: An alternative for the optimization of analytical methods. Analytica Chimica Acta, 597(2): 179—186
Gilmour S, 2006. Response surface designs for experiments in bioprocessing. Biometrics, 62: 323—331
Gustafson K, Roman M, Fenical W, 1989. The macrolactins, a novel class of antiviral and cytotoxic macrolides from a deep-sea marine bacterium. J Am Chem Soc, 111: 7519
He S, Wang H, Yan X et al, 2012. Preparative isolation and purification of macrolactin antibiotics from marine bacterium *Bacillus amyloliquefaciens* using high-speed counter-current chromatography in stepwise elution mode. Journal of Chromatography A, 11: 15—19
Jaruchoktaweechai C, Suwanborirux K, Tanasupawatt S et al, 2000. New macrolactins from a marine *Bacillus* sp. Sc026. J Nat Prod, 63: 984
Kali S J, Maugeri F, Rodrigues M I, 2000. Response surface analysis and stimulation as a tool for bioprocess design and optimization. Process Biochem, 35: 539—550
Kim H H, Kim W G, Ryoo I J et al, 1997. Neuronal cell protection activity of Macrolactin A produced by a *Ctinomadura* sp. J Microbiol Biotechnol, 7: 429
Mondol M A, Kim J H, Lee H S et al, 2011. Macrolactin W, a new antibacterial macrolide from a marine *Bacillus* sp. Bioorg Med Chem Lett, 21: 3832—3835

- Montgomery D C, 2000. Design and Analysis of Experiments. 5th ed. New York: John Wiley & Sons: 46—51
- Nagao T, Adachi K, Sakai M, 2001. Novel macrolactins as antibiotic lactones from a marine bacterium. *J Antibiot*, 54: 333—339
- Newman D J, Cragg G M, Snader K M, 2003. Natural products as sources of new drugs over the period 1981—2002. *J Nat Prod*, 66: 1022—1037
- Plackett R L, Burman J P, 1946. The design of optimum multi-factorial experiments. *Biometrika*, 33: 305—325
- Romero T M, Jansen R, Sylla M et al, 2006. 7-O-malonyl macrolactin A, a new macrolactin antibiotic from *Bacillus subtilis* active against methicillin-resistant *Staphylococcus aureus*, vancomycin-resistant enterococci, and a small-colony variant of *Burkholderia cepacia*. *Antimicrob Agents Ch*, 50: 1701—1709
- Sohn M J, Zheng C J, Kim W G, 2008. Macrolactin S, a new antibacterial agent with FabG-inhibitory activity from *Bacillus* sp. AT28. *J Antibiot*, 61: 687—691
- Tulp M, Bohlin L, 2004. Unconventional natural sources for future drug discovery. *Drug Discovery Today*, 9(10): 450—458
- Zhou G L, Luo X S, Tang Y L et al, 2008. *Kocuria flava* sp. nov. and *Kocuria turfanensis* sp. nov. airborne actinobacteria isolated from Xinjiang, China. *Int J Syst Evol Microbiol*, 58: 1304

OPTIMIZATION OF CULTURE CONDITIONS FOR PRODUCTION OF MACROLACTIN B BY A MARINE *BACILLUS AMYLOLIQUEFACIENS*

WANG Hong-Qiang, HE Shan, YANG Rui, ZHU Peng, YAN Xiao-Jun

(Ningbo University, Key Laboratory of Applied Marine Biotechnology of Ministry of Education, Ningbo, 315211)

Abstract A macrolactins-producing marine bacteria were isolated from seawater in Taizhou, Zhejiang Province. This strain was identified and named as *Bacillus amyloliquefaciens* ESB-2 based on phenotypic characteristics and 16S rRNA gene sequencing. Minitab statistical software was applied to optimize the fermentation conditions for the production of macrolactin B fermented by ESB-2 strain in Plackett-Burman and Box-Behnken design. The optimal fermentation conditions for maximum macrolactin B production were Peptone 5mg/mL, yeast extract 1mg/mL, glucose 17.0mg/L, FePO₄ 0.01mg/mL, temperature 27.2°C, initial pH value 6.0, medium volume 57.6%, rotation speed 150r/min, inoculation 5% and fermented for 4 days. Under the optimization conditions, the concentration of macrolactin B was increased eight-folds and reached 13.6μg/mL.

Key words *Bacillus amyloliquefaciens*; Macrolactin B; optimization; response surfaces